

بررسی پایداری دامنه‌های سازند گچساران واقع در مخزن سد گتوند تحت تأثیر آبدگیری مخزن و انحلال مصالح نمکی

بهمن بقاءدشتکی، ماشاله خامه‌چیان:

گروه زمین‌شناسی مهندسی دانشگاه تربیت مدرس

khamechm@modares.ac.ir

سید محمد حسن نظری : شرکت مه‌اب قدس

پذیرش ۸۹/۱۲/۴

تاریخ: دریافت ۸۹/۲/۷

چکیده

مخزن سد گتوند با طولی بیش از نود کیلومتر را سازندهای گچساران، میشان، آغا‌جاری و بختیاری احاطه کرده‌اند. مسئله مهم در مخزن سد حضور سازند گچساران است که حاوی حجم چشم‌گیری از نمک است و به فاصله چهار کیلومتر، در بالادست محور سد قرار دارد. شور شدن آب سد در نتیجه انحلال نمک در آب مخزن می‌تواند عوارض جدی زیست محیطی به همراه داشته باشد. علاوه بر انحلال مستقیم نمک در تماس با آب مخزن، ناپایداری دامنه‌ای نیز می‌تواند بر این فرایند تأثیرگذار باشد. لغزش‌های احتمالی در دامنه‌های حاوی نمک، حجم چشم‌گیری از نمک را در مدت زمان کوتاهی در تماس با آب مخزن قرار خواهد داد. در این تحقیق به منظور بررسی فرایند زمین‌لغزش در محدوده مخزن، و همچنین تأثیر انحلال لایه‌های نمکی بر لغزش، ویژگی‌های مهندسی مصالح غالب سازنده توده‌های سنگی با استفاده از آزمایش‌های مکانیک سنگ تعیین شد. سپس نتایج حاصل از آزمایش‌های انجام شده بر روی نمونه‌های سنگ بکر و روش GSI برای برآورد پارامترهای مهندسی توده سنگ استفاده شد. از طرف دیگر برای تعیین تأثیر انحلال لایه‌های نمکی بر لغزش، نمونه‌هایی از نمک به آزمایشگاه منتقل و با استفاده از روش سیرکولاسیون میزان انحلال‌پذیری آن در شرایط مختلف

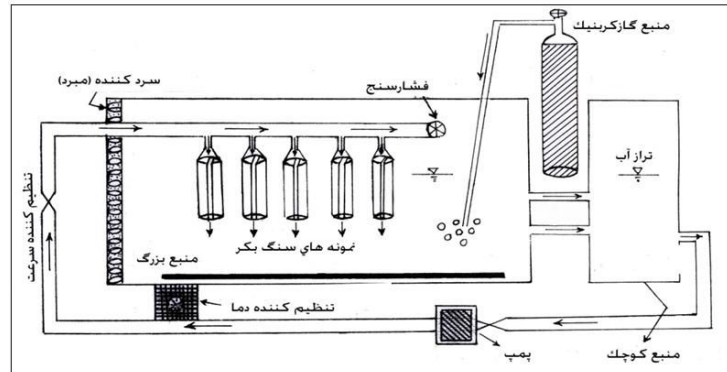
بررسی شد، و نتایج به شرایط مخزن تعمیم داده شد. در نهایت شرایط پایداری دامنه با توجه به ترازهای مختلف آب‌گیری مخزن، و همچنین تأثیر انحلال لایه‌های نمکی، با مدل‌سازی حالت‌های مختلف در نرم‌افزار SLIDE تجزیه و تحلیل شد. نتایج حاصل از این تحلیل‌ها نشان می‌دهد که لغزش‌ها در محدوده مخزن بیش‌تر کم‌عمق هستند و تحت تأثیر انحلال لایه نمکی ایجاد می‌شوند.

واژه‌های کلیدی: سد گتوند، زمین لغزش، انحلال پذیری، نرم افزار SLIDE، سیرکولاسیون

مقدمه

امروزه سدها از سازه‌های آبی مهمی به‌شمار می‌آیند که در همه نواحی جهان به‌ویژه در نواحی خشک و نیمه خشک برای مدیریت آب‌های سطحی احداث می‌شوند. این سازه‌ها در ارتباط تنگاتنگ با شرایط زمین‌شناسی هستند که در آن ساخته شده‌اند. لذا باید تمامی خطرهای موجود در محدوده سد و مخزن بررسی شده و تا حد امکان رفع یا تقلیل یابند. اگر سد در مناطقی که از سنگ‌های تبخیری تشکیل شده باشد ساخته شود مورد تهدید پدیده کارستی شدن، انحلال، نشست ساختگاه و در مواقعی خوردگی آب‌های عبوری قرار می‌گیرند [۱]. پدیده انحلال به عوامل متعددی از جمله ویژگی‌های حلال و ماده حل شونده، حجم و سرعت جریان حلال درگیر، سطح در معرض تماس، دما، فشار، اسیدیته محیط و تأثیر مواد محلول بستگی دارد [۲]. شاید اولین کسانی که در این مورد پژوهش‌های نسبتاً جامعی را شروع کردند کالکانو و آزورا باشند که در سال ۱۹۶۷ پدیده انحلال‌پذیری در سنگ‌های سولفات را بررسی کرده و از دیدگاه مهندسی مورد بحث قرار دادند [۳]. انحلال ژپس می‌تواند عامل خطرانی در ارتباط با نشست و ریزش باشد. ژپس، سولفات کلسیم آب‌دار یک ماده انحلال‌پذیر است جایی که لایه ضخیمی از آن وجود داشته باشد غارهای انحلالی بزرگی در آن توسعه می‌یابد که با سیمای کارستی سنگ‌های کربناته و دولومیتی قابل مقایسه است [۴]. در این تحقیق به منظور بررسی ویژگی‌های انحلال‌پذیری توده نمکی موجود در ساخت‌گاه سد گتوند نمونه‌های استوانه‌ای تهیه، و پس از آماده‌سازی، با روش سیرکولاسیون آزمایش شده است. به‌طور کلی در

این آزمایش آب از یک مخزن به درون نمونه مورد نظر پمپ می‌شود و دوباره به مخزن باز می‌گردد. تکرار این عمل باعث انحلال نمونه مورد نظر می‌شود [۵]. طرح کلی دستگاه تعیین انحلال‌پذیری سنگ‌ها (آزمایش سیرکولاسیون) در شکل ۱ نشان داده شده است [۶].



شکل ۱. طرح کلی دستگاه تعیین انحلال‌پذیری سنگ‌ها [۶]

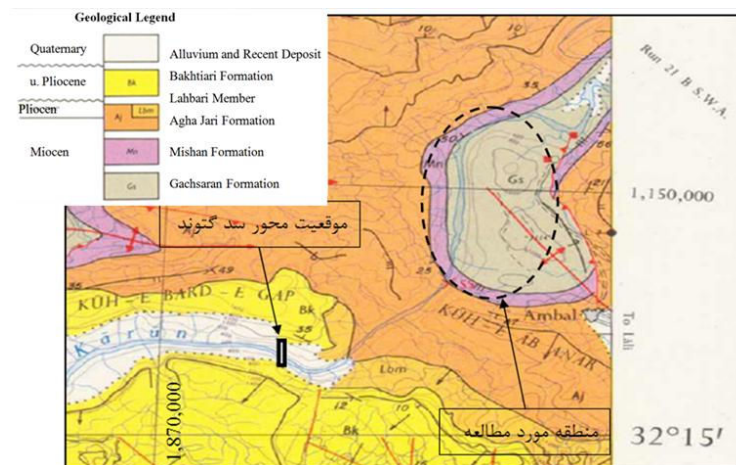
علاقه زیادی برای فهم و پیش‌بینی پدیده‌های فاجعه‌بار از قبیل سیل، زلزله و بهمن وجود دارد که به صورت نادر یا متناوب اتفاق می‌افتند و نتایج فاجعه‌بار محیطی به بار می‌آورند [۷]. زمین‌لغزش وقتی خطرناک می‌شود که از طرف فعالیت‌های بشری از بیرون تحریک شود. از جمله فاکتورهای محرک می‌توان به باران شدید، حرکات زلزله، تغییرات آب زیرزمینی و جریان‌های فرسایشی سریع که باعث کاهش مقاومت برشی در مواد تشکیل دهنده دامنه می‌شود اشاره کرد که تأثیر منفی در پایداری دامنه دارند [۸]. زمین‌لغزش از آب‌گیری مخزن نیز تأثیر می‌پذیرد و می‌تواند تهدیدی برای سد و عامل تلفات جانی باشد [۸]. یکی از مثال‌های بارز در این زمینه فاجعه مخزن سد واینت ایتالیا بر روی رودخانه پیانو است که در اکتبر سال ۱۹۶۳ اتفاق افتاد. برای کاهش این نوع تلفات عظیم جانی و مالی ارزیابی آب‌گیری مخازن دارای خطر زمین‌لغزش به منظور پیش‌گیری از وقوع زمین‌لغزش مهم و مفید خواهد بود [۹]. مدل‌های ژئوتکنیکی یک روش مهم در ارزیابی زمین‌لغزش‌هاست و دارای تحلیل‌های خاص منطقه و دامنه از نظر شرایط مهندسی است [۱]. روش‌های بررسی پایداری دامنه در سابقه و تئوری با هم متفاوتند بنا بر این نتایج تحلیل به تئوری روش وابسته است. در واقع مکانیسم

شکست دامنه با جمع‌آوری اطلاعات و مشاهدات صحرایی تعیین می‌شود و سپس روش مناسب تحلیل انتخاب می‌گردد. بسیار مهم است که برای درک بهتر روش‌های تحلیل شکست دامنه تحقیق کنیم، نقاط ضعف و قوت آن‌ها را بشناسیم و جنبه اجرایی بودن روش‌های تحلیل را ارائه کنیم [۱۰]. تفاوت اساسی روش تعادل حدی و المان محدود این است که روش تعادل حدی بر اساس تعادل استاتیکی و روش المان محدود بر پایه رابطه تنش- کرنش قرار دارد. روش‌های تعادل حدی سال‌هاست که تثبیت شده‌اند و بنا بر این هنوز در کارهای اجرایی تحلیل پایداری استفاده می‌شوند. سادگی و ارتباط خوب نتایج از مزایای این روش‌ها به‌شمار می‌رود [۱۱].

مخزن سد گتوند با طولی بیش از نود کیلومتر را سازندهای گچساران، میشان، آجاجاری، لهری و بختیاری احاطه کرده‌اند. مسئله مهم در مخزن سد گتوند حضور سازند گچساران است که شامل لزه‌های ضخیم نمکی است. حل شدن حجم چشم‌گیری نمک در آب مخزن پس از آب‌گیری سد، تهدیدی جدی برای کیفیت آب به‌شمار می‌رود. هر گونه لغزش در دامنه‌های متعلق به سازند گچساران علاوه بر انتقال حجم چشم‌گیری از مصالح به درون مخزن، باعث خواهد شد که رخ‌نمون‌های جدیدی از مواد انحلال‌پذیر در معرض تماس با آب سد قرار گیرد. انحلال مداوم رخ‌نمون‌های جدید نمکی در پیشانی دامنه به طور مکرر لغزش در دامنه را به طور فزاینده‌ای تحریک خواهد کرد. با توجه به تأثیر متقابل انحلال و لغزش، تحلیل پایداری دامنه پیچیده خواهد بود [۱۲].

منطقه پژوهش

در این تحقیق شرایط پایداری دامنه‌های متعلق به سازند گچساران، واقع در ساحل چپ مخزن سد گتوند بررسی شده است. طرح سد و نیروگاه گتوند علیا یکی از طرح‌های بزرگ عمرانی کشور است. ساختگاه سد در میان طول‌های جغرافیایی $49^{\circ} 48'$ تا $48^{\circ} 57'$ شرقی و عرض‌های جغرافیایی $32^{\circ} 12'$ تا $32^{\circ} 17'$ شمالی قرار دارد که بر روی رودخانه کارون در کیلومتر ۳۸۲/۸ از مصب رودخانه و در ۲۵ کیلومتری شمال شهرستان شوشتر در حال احداث



شکل ۳. نقشه زمین‌شناسی منطقه (موقعیت محور سد و منطقه بررسی شده)

شکل ۴ نیز موقعیت سازند گچساران و دیگر سازندها را در مخزن سد گتوند نشان می‌دهد.



شکل ۴. موقعیت سازندهای زمین‌شناسی در مخزن سد گتوند

چنان‌که در شکل ۴ نیز قابل مشاهده است قسمت‌های سطحی سازند گچساران بیش‌تر شامل انیدریت و ژیپس است که هوازدگی شدیدی را متحمل شده و در طول دو کیلومتر در در مخزن سد گسترش یافته است. سازند گچساران در این محدوده با طولی حدود ۲/۵ کیلومتر در تماس با آب مخزن قرار خواهد گرفت.

بررسی‌های آزمایشگاهی

در این تحقیق به منظور تعیین پارامترهای مهندسی مصالح سازنده توده، نمونه‌هایی از مارن، انیدریت وهالیت حاصل از مغزه‌های حفاری برای انجام آزمایش‌های مکانیکی و تعیین

خصوصیات فیزیکی استفاده شده است. علاوه بر این، و با توجه به تاثیر فرایند انحلال در ناپایداری دامنه در محدوده سد، آزمایش‌های انحلال‌پذیری نیز بر روی نمونه‌های نمکی انجام شده که جزئیات مربوط به این آزمایش‌ها در ادامه آمده است. جدول ۱ نتایج آزمایش‌های خصوصیات فیزیکی نمونه‌ها را نشان می‌دهد.

جدول ۱. نتایج آزمایش‌های تعیین خصوصیات فیزیکی

نام گمانه	عمق نمونه (m)	نوع نمونه	دانشیه (gr/cm ³)			تخلخل (%)
			خشک	طبیعی	اشباع	
SA-8	۷۷/۷۵-۷۸	Anhydrite	۲/۶۹	۲/۷۰		
SA-9	۷۲/۳۰-۷۲/۶۰	Marl	۱/۹۷	۲/۱۳		
	۸۰/۶۵-۸۱	Salt	۲/۱۷	۲/۱۷		
	۱۴۱/۷۰-۱۴۲	Salt	۲/۲۰	۲/۲۰		
SA-10	۲۰/۵۰-۲۰/۸۵	Marl	۱/۸۱	۱/۸۷		
	۴۱/۵۰-۴۱/۸۰	Marl	۱/۹۲	۲/۰۲		
	۲۷-۳۰-۲۷/۶۰	Salt	۲/۱۰	۲/۱۴		
	۵۴-۵۴/۴	Salt	۲/۲۰		۲/۳۳	۱۲/۶۱
	۶۰/۵۰-۶۰/۸۰	Marl	۱/۹۶	۲/۰۵		
	۱۴۳/۲۰-۱۴۳/۴۵	Marl	۲/۵۸		۲/۷۰	۱۲/۱۲
	SA-11	۹۲-۹۲/۴۰	Salt	۲/۱۸	۲/۱۸	
SA-13	۲۴/۴۰-۲۵	Salt	۲/۱۵	۲/۱۵		
	۹۲/۸۰-۹۳/۲۰	Salt	۲/۱۴	۲/۱۵		
SA-14	۴۹/۲۰-۴۹/۵۰	Salt	۲/۱۴	۲/۱۴		
	۵۶/۳۰-۵۶/۷۰	Anhydrite	۲/۶۰		۲/۷۰	۹/۰۲
	۷۰-۷۰/۴۰	Anhydrite	۲/۶۰		۲/۷۴	۹/۹۳
SA-15	۳۱/۳۰-۳۱/۷۰	Marl	۱/۹۶	۲/۱۹		

جدول ۲ نیز نتایج آزمایش مقاومت فشاری تک محوره انجام شده روی مصالح سازنده توده را نشان می‌دهد.

جدول ۲. نتایج آزمایش‌های مقاومت فشاری تک محوره







نام گمانه	عمق نمونه	نوع نمونه	ابعاد نمونه (cm)			مقاومت فشاری تک محوره (MPa)
			طول	قطر	قطر / طول	
SA-8	۱۵/۵۰-۱۶	Salt	۱۴/۰۳	۶/۱	۲/۳	۲۵/۷
	۹۳/۱۰-۹۳/۴۰	Salt	۱۴/۳	۵/۷	۲/۵	۲۷/۷
SA-9	۸۰/۶۵-۸۱	Salt	۱۵/۵	۵/۹	۲/۶	۲۷/۹
	۱۴۷-۱۴۷/۳۵	Marl	۱۵/۵	۶/۳	۲/۵	۰/۷۸
SA-11	۹۲-۹۲/۴۰	Salt	۱۳/۷	۵/۸	۲/۴	۲۳/۹
	۱۰۴/۳۰-۱۰۴/۷۰	Salt	۱۴/۲	۵/۹	۲/۴	۲۷/۶
SA-12	۷۷/۵۰-۷۷/۸۰	Anhydrite	۱۵	۶/۳	۲/۴	۳۹/۸
SA-13	۵۹/۳۵-۵۹/۹۰	Marl	۱۴/۴	۶/۳	۲/۳	۱/۱
SA-14	۲۳-۲۳/۳۵	Marl	۱۴/۷	۶/۱	۲/۴	۰/۶۷
	۶۳/۲۰-۶۳/۶۰	Salt	۱۴/۸	۵/۹	۲/۵	۳۰
SA-15	۳۱/۳۰-۳۱/۷۰	Marl	۱۴/۷	۶/۱	۲/۴	۰/۶
	۳۹/۳۰-۳۹/۶۰	Marl	۱۵	۶	۲/۵	۰/۹
	۶۰/۶۰-۶۱	Anhydrite	۱۶/۴	۶/۳	۲/۶	۳۷/۲

تعیین پارامترهای توده سنگ

نتایج حاصل از آزمایش بر روی نمونه‌های سنگ بکر و روش GSI برای تعیین پارامترهای توده سنگ استفاده شد. با توجه به شرایط زمین‌شناسی توده سنگ مقدار عدد GSI برای مصالح مارنی و انیدریتی در محدوده دایره A و برای مصالح نمکی در محدوده دایره B تعیین شد (شکل ۵).

سپس با وارد کردن عدد GSI مصالح مختلف و همچنین نتایج حاصل از آزمایش‌های آزمایشگاهی در نرم‌افزار Rockdata پارامترهای توده سنگ برای مصالح مختلف تعیین شد. جدول ۳ پارامترهای توده سنگ برای مصالح مختلف سازند گچساران را نشان می‌دهد. چنان که قبلاً نیز ذکر شد حل شدن لایه‌های نمکی موجود در سازند گچساران و در نتیجه حذف این لایه‌ها از دامنه بر فرآیند زمین‌لغزش در دامنه تأثیرگذار است. در این تحقیق به منظور تعیین میزان انحلال نمک موجود در مخزن، نمونه‌هایی استوانه‌ای از نمک تهیه، و پس از آماده‌سازی تحت تأثیر آب کارون و با روش سیرکولاسیون آزمایش شده است.

سیرکولاسیون یکی از روش‌های تعیین انحلال‌پذیری سنگ‌ها است که با به گردش در آوردن حلال از میان یک مجرای باریک با ابعاد مشخص در یک نمونه میزان انحلال‌پذیری آن با زمان تعیین می‌شود. این روش از آن رو که اندازه‌گیری غلظت مواد حل شده، بدون خارج کردن نمونه‌ها و بر هم زدن سامانه مقدور است، حائز اهمیت است [۱۵]. شکل ۶ مراحل آماده‌سازی نمونه‌ها و نحوه انجام آزمایش انحلال‌پذیری را نشان می‌دهد.

GEOLOGICAL STRENGTH INDEX FOR JOINTED ROCKS (Hoek and Marinos, 2000)		SURFACE CONDITIONS					
<p>From the lithology, structure and surface conditions of the discontinuities, estimate the average value of GSI. Do not try to be too precise. Quoting a range from 33 to 37 is more realistic than stating that GSI = 35. Note that the table does not apply to structurally controlled failures. Where weak planar structural planes are present in an unfavourable orientation with respect to the excavation face, these will dominate the rock mass behaviour. The shear strength of surfaces in rocks that are prone to deterioration as a result of changes in moisture content will be reduced if water is present. When working with rocks in the fair to very poor categories, a shift to the right may be made for wet conditions. Water pressure is dealt with by effective stress analysis.</p>		SURFACE CONDITIONS					
		VERY GOOD	GOOD	FAIR	POOR	VERY POOR	
STRUCTURE		DECREASING SURFACE QUALITY →					
DECREASING INTERLOCKING OF ROCK PIECES ↓		90	80	70	60	50	
	INTACT OR MASSIVE - intact rock specimens or massive in situ rock with few widely spaced discontinuities					N/A	N/A
	BLOCKY - well interlocked undisturbed rock mass consisting of cubical blocks formed by three intersecting discontinuity sets						
	VERY BLOCKY - interlocked, partially disturbed mass with multi-faceted angular blocks formed by 4 or more joint sets						
	BLOCKY/DISTURBED/SEAMY - folded with angular blocks formed by many intersecting discontinuity sets. Persistence of bedding planes or schistosity						
	DISINTEGRATED - poorly interlocked, heavily broken rock mass with mixture of angular and rounded rock pieces						
	LAMINATED/SHEARED - Lack of blockiness due to close spacing of weak schistosity or shear planes	N/A	N/A				10

شکل ۵. تعیین عدد GSI برای مصالح سازند گچساران

جدول ۳. پارامترهای توده سنگ برای واحدهای مختلف سازند گچساران

واحدهای توده سنگ	پارامترهای ورودی			پارامترهای توده سنگ				
				معیار هوک - براون			معیار مور- کولمب	
	GSI	mi	(MPa) Sigci	m _b	s	a	C (MPa)	φ(°)
مارن	۴۰	۷	۰/۷	۰/۸۲۱	۰/۰۰۱۳	۰/۵۱۱	۰/۰۲۶	۲۵
انیدریت	۴۰	۱۳	۳۶	۱/۵۲۵	۰/۰۰۱۳	۰/۵۱۱	۱/۶۶۲	۳۰
نمک	۵۰	۱۲	۲۷/۱	۲/۰۱۲	۰/۰۰۳۹	۰/۵۰۶	۱/۴۲۶	۳۲



شکل ۶. مراحل آماده سازی نمونه‌ها (راست) و نحوه انجام آزمایش انحلال پذیری (چپ)

جدول ۴ نتایج آزمایش‌های انحلال‌پذیری را نشان می‌دهد.

جدول ۴. نتایج آزمایش‌های انحلال‌پذیری

شماره نمونه	کاهش وزن (g)	سرعت آب (cm/s)	حجم آب (لیتر)	زمان آزمایش (min)	حجم حفره انحلالی (cm ³)	سطح جانبی نهایی استوانه معادل (cm ²)	قطر نهایی استوانه معادل (cm)
۱	۱۴۸/۲۴	۴۰۷/۶۴	۱	۲۶	۶۹	۹۰/۷۳	۳/۰۴
۲	۸۸/۶	۵/۱	۱	۱۲	۱۵	۳۱/۵۹	۱/۸۹
۳	۱۷۵/۵۳	۸۵/۱	۱	۳۳	۸۷	۹۹/۱۶	۳/۵۱
۴	۴۲/۳۸	۱۴۲/۶۷	۱	۴۰	۱۰۳	۱۱۶/۵۴	۳/۵۳
۵	۲۱۳/۹۵	۱۲۸/۹	۱	۴۰	۱۰۰	۱۱۲/۰۷	۳/۵۷
۶	۳۲۹/۹	۱۳۹/۱	۳	۴۰	۱۴۸	۱۳۶/۳۴	۴/۳۴
۷	۲۳۸/۸۹	۱۳۶	۱	۴۰	۱۰۸	۱۱۳/۵۲	۳/۸۰
۸	۲۱۴/۳۸	۱۲۷/۳۸	۱	۴۰	۸۵	۱۰۳/۳۲	۳/۲۹
۹	۲۳۴/۱۳	۱۲۷/۳۸	۱	۴۰	۱۰۹	۱۱۱/۰۲	۳/۹۳
۱۰	۲۳۹/۱۷	۱۲۴/۸	۱	۴۰	۱۱۳	۱۱۴/۸۸	۳/۹۳
۱۱	۲۰۷	۵۴/۵	۳	۴۰	۹۸	۱۱۰/۹۵	۳/۵۳

شماره نمونه	کاهش وزن (g)	سرعت آب (cm/s)	حجم آب (لیتر)	زمان آزمایش (min)	حجم حفره انحلائی (cm ³)	سطح جانبی نهایی استوانه معادل (cm ²)	قطر نهایی استوانه معادل (cm)
۱۲	۱۹۲/۵۷	۷۶/۴۳	۳	۴۰	۹۲	۱۰۷/۴۹	۳/۴۲
۱۳	۲۴۳/۲۷	۹۵/۲۸	۳	۴۰	۱۱۲	۱۱۸/۶۱	۳/۷۸
۱۴	۱۱۹/۵۸	۱۶/۱۵	۲	۴۰	۵۶	۷۹/۵۶	۲/۸۱
۱۵	۱۹۳/۸	۹۸/۳۴	۲	۴۰	۱۲۳	۱۲۴/۲۹	۳/۹۶
۱۶	۲۴۳/۸۴	۱۰۱/۹۱	۲	۴۰	۱۱۰	۱۱۷/۵۴	۳/۷۴
۱۷	۳۱۷/۹۵	۱۶۳/۰۵	۳	۴۰	۱۴۵	۱۲۸/۰۳	۴/۵۳
۱۸	۱۴۰/۴۳	۷۷/۹۶	۱	۴۰	۶۴	۷۲/۲۸	۳/۵۴
۱۹	۶۰/۴۶	۱/۶۹	۱	۷۵	۳۱	۳۹/۴۶	۳/۶۴
۲۰	۹۸/۸۲	۲/۸۸	۱	۷۵	۵۰	۷۰/۸۸	۲/۸۲
۲۱	۶۸/۸۴	۱/۵	۲	۷۵	۳۲	۶۱/۷۹	۲/۵۷
۲۲	۱۴۴/۲۳	۳/۹۸	۱	۷۵	۴۳	۶۷/۷۵	۲/۵۴
۲۳	۹۶/۳۴	۱	۱	۷۵	۴۸	۷۷/۶۵	۲/۹۷
۲۴	۵۶/۸۹	۱	۱	۷۵	۲۷	۴۱/۱۸	۳/۱۲
۲۵	۱۴۴/۲۳	۱۰	۱	۷۵	۵۱	۷۳/۷۹	۲/۷۶
۲۶	۱۴۲/۲۳	۱۰	۱	۷۵	۷۲	۱۰۸/۴۲	۲/۶۶
۲۷	۱۵۸/۶۵	۰	۱	۲۴۰	۵۸/۹	۸۶/۰۱	-
۲۸	۱۷۵/۶۶	۰	۱	۲۴۰	۱۰/۲۳	۲۹/۹۹	-
۲۹	۱۴۱/۵۲	۰	۱	۲۴۰	۵۸	۶۶/۱۱	-
۳۰	۲۷۲/۹۷	۰	۳	۲۴۰	۸۸/۹	۱۰۵/۶۷	-

میزان خوردگی لایه‌های نمکی نیز با استفاده از نتایج آزمایش‌های انحلال‌پذیری انجام شده با سرعت حدود ۱ سانتی‌متر بر ثانیه (سرعتی که برای گردش آب در مخزن سد در نظر گرفته می‌شود) برآورد شده است و در جدول ۵ نشان داده شده است.

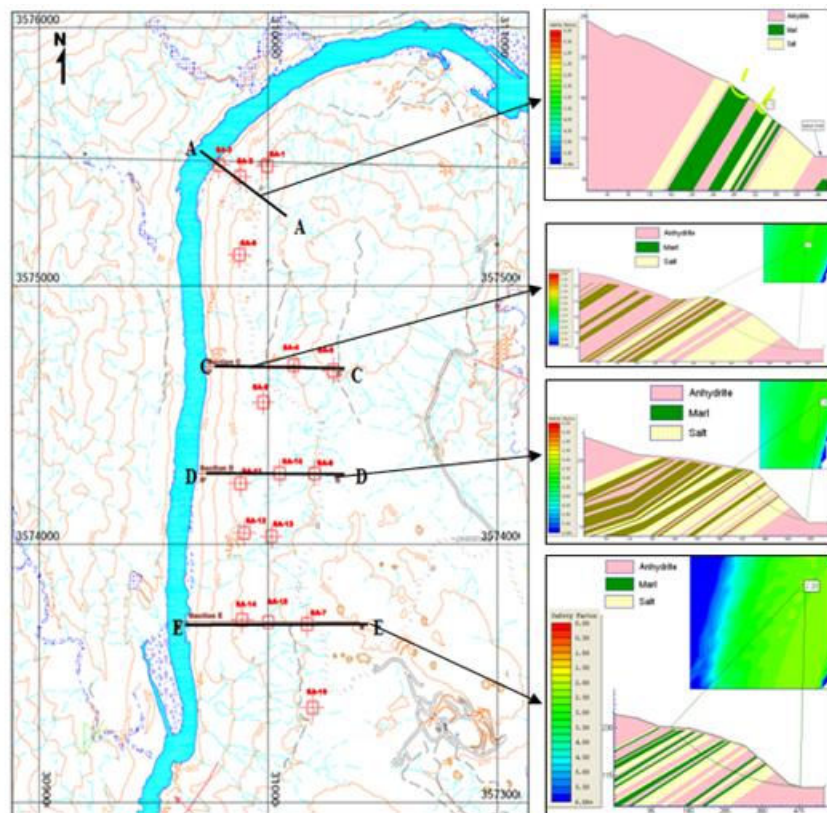
جدول ۵. تعیین میزان خوردگی لایه‌های نمکی

میزان خوردگی در روز (cm)	میزان خوردگی در ۷۵ دقیقه (cm)	میانگین قطر نهایی (cm)	میانگین قطر اولیه (cm)
۲۴/۶۷	۱/۲۸۵	۳/۰۷	۰/۵

تحلیل پایداری دامنه

تحلیل‌های پایداری دامنه با رسم مقطع زمین‌شناسی توده مورد نظر و با توجه به ترازهای مختلف آب مخزن انجام شده است. به‌طور کلی چهار مقطع در چهار منطقه از توده مورد نظر

رسم شده و تحلیل پایداری در امتداد آن‌ها صورت گرفته است. شکل ۷ نقشه توده مورد نظر و همچنین موقعیت گمانه‌های حفر شده در توده و راستای مقاطع زمین‌شناسی را نشان می‌دهد.



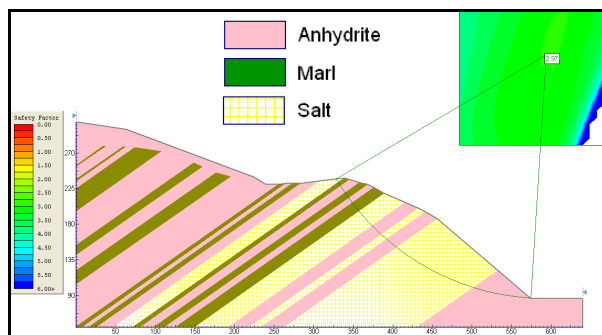
شکل ۷. نقشه موقعیت توده همراه با راستای مقاطع زمین‌شناسی

در بین مقاطع نشان داده شده در شکل ۷ مقطع C-C با جزئیات بیشتر بررسی می‌شود. اما نتایج مربوط به تحلیل پایداری مقاطع دیگر نیز در جدول ۶ نشان داده شده است. اثر انحلال نمک نیز با توجه به فرض ۰/۵ متر آب‌گیری سد در هر روز، و برآورد مدت زمانی که لایه‌های نمک در مقاطع مختلف در تماس با آب مخزن قرار خواهد گرفت در تحلیل وارد شده است. از دیگر پارامترهایی که در تحلیل مورد نظر قرار گرفته است تأثیر جنبش‌های دینامیکی ناشی

از زلزله است که با توجه به شتاب طرح $g/16$ (بر اساس بررسی‌های لرزه‌خیزی محل سد [۱۲]) که برای ساخت‌گاه سد گتوند تعیین شده است در تحلیل‌ها مدل می‌شود. گذشته از این یکی از پیش‌بینی‌هایی که در مورد سد گتوند انجام می‌شود، افت تراز آب مخزن از ۲۳۰ به ۱۸۵ متر است که در اثر استفاده نیروگاه سد از آب مخزن در فصول خشک سال ایجاد می‌شود. اثر این افت نسبتاً سریع تراز آب مخزن نیز تحلیل شده است. تحلیل پایداری دامنه مقطع C-C برای شرایط مختلف آبرگیری مخزن به‌عنوان نمونه در ادامه مورد بررسی قرار گرفته است.

الف) شرایط بدون آبرگیری

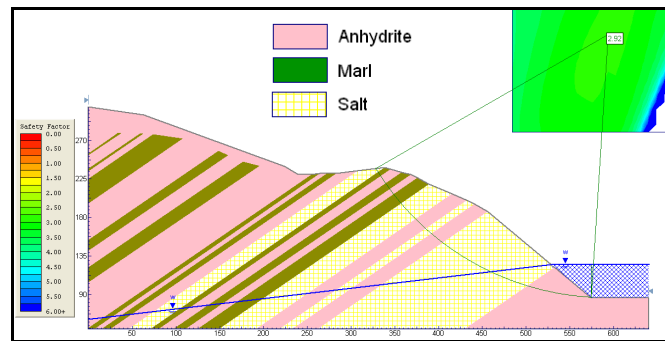
با توجه به شکل دامنه در این حالت پایدار است و ضریب ایمنی بیش‌تر از یک محاسبه شده است (شکل ۸).



شکل ۸. شرایط پایداری دامنه در حالت بدون آبرگیری (مقطع C-C)

ب) تراز آب‌گیری ۱۲۵

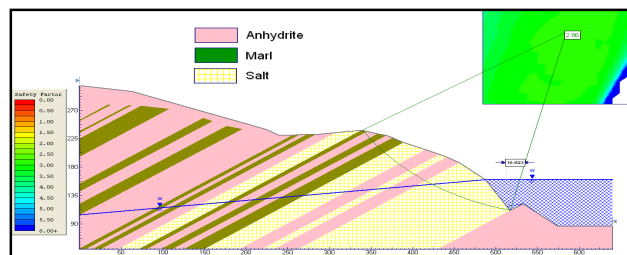
با آبرگیری سد تا تراز ۱۲۵ تغییری در ضریب ایمنی این مقطع مشاهده نمی‌شود، که دلیل آن بالا بودن تراز لایه نمکی است. در این تراز آبرگیری، آب به ابتدای اولین لایه نمکی رسیده و در اثر آن در لایه نمکی $1/5$ متر انحلال رخ داده است. با توجه به پایین بودن میزان عقب‌نشینی دامنه در اثر انحلال، و مقاومت لایه نمکی ضریب ایمنی دامنه در مقایسه با حالت بدون آبرگیری تغییری نداشته است (شکل ۹).



شکل ۹. شرایط پایداری دامنه در تراز آب‌گیری ۱۲۵ (مقطع C-C)

ج) تراز آب‌گیری ۱۶۰

برای رسیدن سطح آب سد از تراز ۱۲۵ به تراز ۱۶۰ به هفتاد روز زمان نیاز است (با فرض ۰/۵ متر آب‌گیری در روز) که با توجه به مقدار خوردگی لایه نمکی در روز (۲۴/۶۷ cm) میزان انحلال در سطح زیرین لایه نمکی همراه با میزان انحلال در مرحله قبل ۱۸/۷۵ متر خواهد بود. در این شرایط انحلال نمک سطح لغزش حداقل را تحت تأثیر قرار داده است. به طوری که سطح لغزش در پنجه پرت‌گاه انحلالی خاتمه می‌یابد (شکل ۱۰). با توجه به مقاومت لایه نمکی انحلال تأثیر زیادی بر ضریب ایمنی دامنه نداشته است.

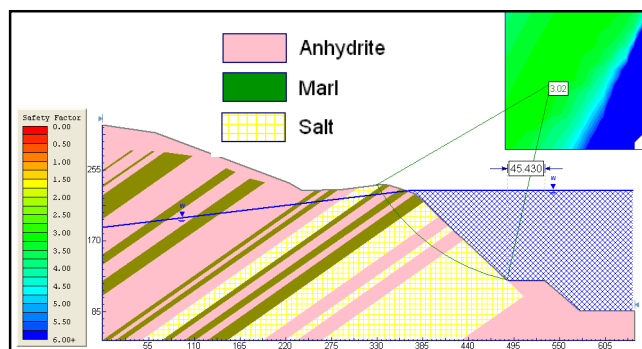


شکل ۱۰. شرایط پایداری دامنه در تراز آب‌گیری ۱۶۰ (مقطع C-C)

د) تراز آب‌گیری ۲۳۰

از زمان آب‌گیری سد در تراز ۱۶۰ تا آب‌گیری آن در تراز ۲۳۰ سطح زیرین اولین لایه نمکی ۱۴۰ روز دیگر در تماس با آب مخزن قرار خواهد گرفت که میزان انحلال در این ناحیه همراه با انحلال مراحل قبل به حدود ۵۳/۳ متر خواهد رسید. در اثر این انحلال میان لایه‌های

انیدریتی و مارنی به درون مخزن فرو ریخته و احتمالاً بخشی از پاشنه لایه نمکی زیرین را خواهد پوشاند اما بخش باقیمانده دامنه پایدار است و لغزش عمیقی در آن اتفاق نخواهد افتاد (شکل ۱۱). میزان انحلال لایه‌های نمکی دیگر نیز با توجه به تراز قرارگیری آن‌ها در حاشیه مخزن محاسبه و در جدول ۶ نشان داده شده است.



شکل ۱۱. شرایط پایداری دامنه در تراز آب‌گیری ۲۳۰ (مقطع C-C)

چنان که در شکل ۱۱ نشان داده شده است، قرار گرفتن واریزه‌های بالادست روی سطح لایه نمکی پایین‌دست احتمالاً انحلال در پنجه را تا حدودی متوقف خواهد کرد. این شرایط با محاسبه حجم مواد دارای قابلیت لغزش در بالادست و اضافه کردن آن به پنجه دامنه ایجاد شده است. حضور آب مخزن در جلو دامنه با ایجاد فشار جانبی، ضریب ایمنی دامنه را بالا برده است. به جز لغزش‌های سطحی ناشی از حذف لایه نمکی احتمال لغزش عمیق در دامنه وجود ندارد (اگرچه همین لغزش‌های سطحی نیز از لحاظ حجم قابل توجه هستند اما با توجه به حل تدریجی نمک به صورت دفعی اتفاق نمی‌افتند). جدول ۶ نتایج تحلیل پایداری دامنه در مقاطع مختلف را به طور خلاصه نشان می‌دهد.

بررسی اثر افت نسبتاً سریع آب مخزن بر روی ناپایداری دامنه

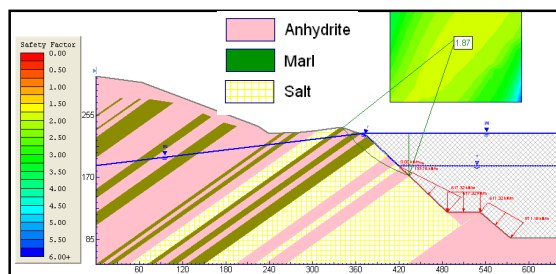
چنان که قبلاً نیز ذکر شد انتظار می‌رود که تراز آب مخزن در اثر استفاده نیروگاه، در فصول خشک سال افت نسبتاً سریعی را متحمل شود. در این حالت فشار جانبی ناشی از آب مخزن از روی دامنه برداشته شده ولی آب درون دامنه فرصت کافی برای زه‌کشی نخواهد داشت و با ایجاد فشار آب منفذی باعث ناپایداری دامنه می‌شود. در مقایسه با حالت بدون

افت، پایین آمدن تراز آب مخزن ضریب ایمنی دامنه را تقریباً به نصف کاهش داده است. اما همچنان ضریب ایمنی بالاتر از یک قرار دارد و دامنه پایدار است. شکل ۱۲ شرایط پایداری دامنه همراه با افت تراز آب در مقطع C-C را نشان می‌دهد.

لازم به ذکر است که این تحلیل در مقاطع دیگر نیز نتایج مشابهی به دست داده است.

جدول ۶. نتایج تحلیل پایداری دامنه مقاطع مختلف

نام مقطع	تراز آب مخزن	خوردگی لایه‌های نمکی از ابتدای آب‌گیری (m)						ضریب ایمنی		ضریب ایمنی با اثر زلزله (0.16 g)	
		لایه اول		لایه دوم		لایه سوم		BSM	M-P	BSM	M-P
		زیر	بالا	زیر	بالا	زیر	بالا				
A-A	۸۷	۰	۰	۰	۰	۰	۰	۱/۷۳	۱/۷۲	۱/۳۴	۱/۳۳
	۱۲۵	۱۷/۷۶	۰/۲۴	۰	۰	۰	۰	۲/۳۳	۲/۵۵	۱/۶۶	۱/۹۳
	۱۶۰	۳۵	۱۷/۵۰	۱۱	۷/۹	۰	۰	۱/۴۳	۱/۴۳	۱/۳۴	۱/۵۲
	۲۳۰	۴۰	۵۲	۴۵	۴۲	۲۱	۱۸	۱/۶۷	۱/۶۷	۱/۱۲	۱/۱۱
C-C	۸۷	۰	۰	۰	۰	۰	۰	۲/۹۷	۲/۹۷	۲/۲۴	۲/۲۶
	۱۲۵	۱/۵	۰	۰	۰	۰	۰	۲/۹۲	۲/۹۴	۲/۱۷	۲/۲۰
	۱۶۰	۱۸/۷۵	۰	۰	۰	۰	۰	۲/۸۶	۲/۸۹	۲/۱	۲/۱۵
	۲۳۰	۵۳/۳	۲۱/۳۶	۱۶/۷۷	۱۴/۵۷	۱/۰	۱/۴۷	۳/۰۲	۳/۰۹	۲/۰۲	۲/۱۱
D-D	۸۷	۰	۰	۰	۰	۰	۰	۲/۸۹	۲/۹۴	۱/۹۲	۲/۰۹
	۱۲۵	۱/۹۷	۰	۰	۰	۰	۰	۲/۷۴	۲/۷۸	۱/۸۴	۲/۰۲
	۱۶۰	۱۹/۲	۸/۸۸	۰	۰	۰	۰	۲/۵۶	۲/۶۸	۱/۸۸	۲/۰۵
	۲۳۰	۵۳/۷۸	۴۳/۴۱	۳۳/۷۹	۲۸/۹۱	۲۱	۳	۲/۷۷	۲/۸۵	۱/۸۳	۱/۹۵
E-E	۸۷	۰	۰	۰	۰	۰	۰	۲/۲۰	۲/۳۱	۱/۵۵	۱/۶۹
	۱۲۵	۰/۵۶	۰	۰	۰	۰	۰	۲/۱۳	۲/۲۳	۱/۴۷	۱/۶۶
	۱۶۰	۱۷/۸۳	۹/۳۷	۳/۹۶	۱/۲۱	۰	۰	۲/۲	۲/۲۱	۱/۵۹	۱/۵۹
	۲۳۰	۱۲/۱۳	۱۲	۲۰	۱۷	۲۲	۱۴	۲/۸۶	۲/۹۵	۱/۶۴	۱/۷۷



شکل ۱۲. شرایط پایداری دامنه با افت تراز آب مخزن (مقطع C-C)

نتیجه گیری

در این تحقیق به منظور تحلیل پایداری دامنه‌های مربوط به سازند گچساران در محدوده سد گتوند، و همچنین تأثیر انحلال لایه‌های نمکی بر پایداری دامنه، بررسی‌هایی برای تعیین انحلال‌پذیری مصالح نمکی و خصوصیات مهندسی سنگ‌های سازنده توده به صورت جداگانه انجام شده است. سپس نتایج حاصل از این آزمایش‌ها برای تعیین خصوصیات توده سنگ تعمیم داده شده، و در نهایت شرایط پایداری دامنه با توجه به تأثیر متقابل انحلال و زمین لغزش در شرایط مختلف آبیگری مخزن و تأثیر عوامل جانبی دیگر، در نرم افزار SLIDE مدل‌سازی شده و تجزیه و تحلیل شده است. بر اساس نتایج تحقیق با در نظر گرفتن سرعت حدود یک سانتی‌متر بر ثانیه برای گردش آب در مخزن، میزان خوردگی در محل لایه‌های نمکی ۲۴/۶۷ سانتی‌متر در روز خواهد بود. لغزش‌های ایجاد شده در دامنه معمولاً کم عمق و در اثر انحلال لایه نمکی زیرین ایجاد می‌شوند در نتیجه تغییر شکل دامنه به صورت تدریجی صورت خواهد گرفت. این تغییر شکل نرم احتمالاً باعث خواهد شد لغزش عمیق در دامنه اتفاق نیفتد. با در نظر گرفتن تأثیر زمین لرزه بر ناپایداری دامنه، ضریب ایمنی تا حدود ۵۰ درصد کاهش می‌یابد اما در عین حال ضریب ایمنی دامنه بالاتر از یک محاسبه شده است. افت نسبتاً سریع تراز آب مخزن باعث کاهش ضریب ایمنی دامنه می‌شود؛ اما باعث ایجاد لغزش عمیق در دامنه نخواهد شد.

منابع:

1. Wang, H. B. *Hazard assessment by 3D stability analysis of landslides due to reservoir impounding*, Landslides vol 4 (2007) 381-388.
2. Mel Nikova, Z. M., Moshkina, I. A. "Solubility of Anhydrite and Gyosum in the System Na-Mg-Ca-Cl-So₄-H₂o" *Izv. Sib. Otdel. ANSSSR*, (4) / 214 / Ser. Khim. Nauk. (2)/7626 (1973).
3. James, A. N., Binne, and Partners, *Solution parameters of carbonate rocks*" *Bull. Int. Assoc. Eng. Geol.* No. 24 (1981)19-25.

4. Thierry, P., Prunier-Leparmentier, A., Lembezat, C., *3D geological modelling at urban scale and mapping of ground movement susceptibility from gypsum dissolution: The Paris example (France)*, Engineering Geology 105 (2009) 51-64.
5. James, A. N., *Solution parameters of carbonate rocks*, Bull. Int. Assoc. Eng. Geol. Vol. 9 (1981) 19-25.
۶. قبادی، م. ح.، زمین‌شناسی مهندسی کارست، انتشارات دانشگاه بوعلی همدان، ۱۶۰ص (۱۳۸۸).
7. Sornettea, D., Helmstetter, A., Andersen, J.V., Gluzmanc, S., Grasso, J., Pisarenkof, V., *Towards landslide predictions: two case studies*, Physica A 338 (2004) 605-632.
8. LOO, H. "Reactivation of An Old Landslide in Response to Reservoir Impoundment and Fluctuations" Ph.D Thesis, Hong Kong University (2006).
۹. توکلی، ب.، مبانی زمین‌شناسی مهندسی، انتشارات دانشگاه پیام نور، (۱۳۸۲).
10. Albataineh, N. "Slope Stability Analysis Using 2D and 3D Methods, M.Sc. Thesis, University of Akron (2006).
11. Krishna, P.A. "Slope Stability Evaluations by Limit Equilibrium and Finite Element Methods", Ph.D. Thesis, Norwegian University of Science and Technology (2006).
۱۲. شرکت مه‌اب قدس، گزارش مطالعات زمین‌شناسی مهندسی توده نمکی عنبل، مطالعات مرحله سوم طرح گتوند (۱۳۸۷).
۱۳. شرکت توسعه و منابع آب و نیروی ایران، جانمایی طرح‌های حوضه‌های کارون و دز (۱۳۸۵).
۱۴. آقائباتی، س.ع.، زمین‌شناسی ایران، سازمان زمین‌شناسی و اکتشافات معدنی کشور (۱۳۸۵).
15. James, A. N., Lupton, A. R. R., *Gypsum and anhydrite in foundations of hydraulic structures*", Geotechnique Vol. 28 No. 3 (1978) 249-272.